

유한 상태 벡터 양자화기를 이용한 프레임간 부호화

김 시 중 최 종 수
중앙대학교 전자공학과

On interframe coding with Finite State Vector Quantization

Kim si joong Choi Jong Soo
Dept. of electronic Eng. Chung--ang University

ABSTRACT

Space domain image coding with VQ [9,10,11] has been very effective at low rates. To achieve quality at lower rates, it is necessary to exploit spatial redundancy over a larger region of pixels than is possible with general VQ.

This paper presents a interframe coding algorithm which is capable of obtaining better performance and lower bit rate than those of the general interframe coding. The performance is evaluated on the basis of SNR (Signal to Noise Ratio), memory requirements and bit rate.

입력 벡터가 탐색할 부호책의 상태를 결정할 수 있게 했으며, 더우기 FSVQ의 상태를 효율적으로 탐색하기 위해 상태 부호책을 나무 구조로 하고 앙갈라 탐색에 의해 상태를 찾는 방법을 제택 했다.

본 논문에서는 1장에서 서론을 다루고, 2장에서는 본론, 즉 FSVQ의 소개와 본 논문에서 제안하는 부호화 방법을 나누며, 3장에서는 시뮬레이션 결과 및 성능의 비교 검토를 보인 후, 4장에서 결론을 다루겠다.

2.1 유한 상태 벡터 양자화법.
(Finite State Vector Quantizer)

FSVQ는 일반적인 VQ의 변형된 형태로써 메모리 필요량은 상당히 많으나 같은 비트 레이트에서는 일반적인 VQ보다 훨씬 좋은 성능을 나타낸다. 이 시스템은 크게 유한 상태 부호기와 유한 상태 부호기로 구성된다.

k 를 차원, R 을 Euclidian space, 채널 신호를 $N = \{ X_i : i=1,2,\dots,N \}$ 이라 할 때 비트 레이트는 다음과 같다.

$$r = k^N \log N \text{ bits per sample}$$

또한, 상태라 불리는 모든 Symbol 들의 집합을 상태 공간 S 라 부르고 이 표현을 '다음과 같이 나타내게 된다.'

$$S = \{ S_i : i=0,1,2,\dots,K-1 \}$$

이 상태 공간 S 는 각 상태에 따른 상태 부호책을 시니개되고, 부호기는 이 상태 부호책에서 부호어를 탐색하게 된다.

1) 유한 상태 부호기(Finite State Encoder)

유한 상태 부호기는 다음 상태 함수와 결합하여 동작을 하게 된다. 현재 상태 $s \in S$ 가 주어지고 현재 입력 벡터가 $X \in R^k$ 일 때 부호기는

$$\alpha = R * s \rightarrow N$$

식으로 입력 벡터에 대한 채널 Symbol 을 발생하게 된다. 여기서 다음 상태 함수는 다음과 같이 나타낼 수 있다.

$$F = N * s \rightarrow S$$

만약 부호기의 현재 상태가 $s \in S$, 입력 벡터가 $x \in R^k$ 일 때 다음 상태 합수는 $f(u, s)$ 에 따라서 선택이된다. 단, u 는 생성된 부호이다.

2) 유한 상태 복호기 (Finite State Decoder)

유한 상태 복호기는 부호기의 역과정이라 할 수 있다. 즉, 채널 신호 $u \in N$ 이고 상태가 s 일 때 복호기는

$$\beta = N * S \rightarrow R^k$$

식으로 Reproduction Vector 를 발생하게 된다. 다시 말해 입력 벡터는

$$\hat{x} = \beta(u, s) = \beta(\alpha(x, s), s)$$

로 복호화되는 것을 나타낸다. 각각의 상태에 대해서 상태 부호책은 N 개의 대표 벡터들로 구성된 상태 부호책

$$Cs = (\beta(u, s), u \in N)$$

가 있으며, 전체 부호책 $C = \{Cs\}$ 는 모든 상태의 부호책을 모아 둔 것이다. 이때 성능 지표식으로서는

$$\Delta = \lim_{n \rightarrow \infty} n^{-1} \sum_{i=0}^{n-1} Ed(X_i, \hat{X}_i)$$

과 같은 긴 트레이닝 시퀀스 (TS) 에 의한 평균 자승 오차법을 쓴다.

2.2 FSVQ를 이용한 프레임간 부호화.

앞절에서 설명한 FSVQ의 여러 가지 장점들을 강조하여, 이 기법을 프레임간 부호화 방식과 통합함으로써 성능과 비트레이트 면에서 뛰어날 수 있는 양자화기를 구성하였다. 본 논문에서 새안하는 양자화 시스템의 전체 구성도는 그림 1과 같다.

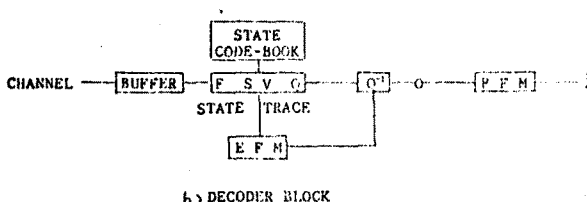
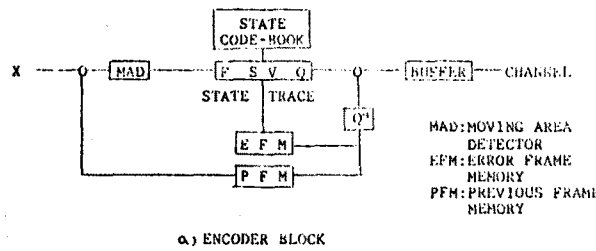


그림 1. 전체 블록도

그림 1에서 보는 바와 같이 이 시스템은 부호기와 복호기로 구성된다. 먼저, 부호기에서 입력으로 들어온 디지털 영상은 프레임간 부호화에 의해 선상태 프레임 버퍼 메모리 (Previous State Frame Memory)로부터 전 상태 화소치 많음 배시가 되므로, 전제적으로 볼 때 일자 에트로피 (Entropy)가 줄어들게 된다. 그러면 이 오자 신호는 MAD로 입력되어 주어진 조건에 따라 움직임이 있는 영역인지를 아닌지를 결정된다. 만일 이 벡터가 움직임이 있는 부분으로 판정되면 이 벡터는 FSVQ를 서치하게 되는데, 이때 FSVQ의 상태는 오자 프레임 메모리의 현재 입력 벡터와 일치하는 위치의 값으로부터 결정되어 결정된 상태내의 부호책으로부터 FSVQ 된 인덱스 (Index : 채널 Symbol) 가 출력된다. 움직임이 없는 부분으로 판정된 벡터에는 최소의 정보 단위인 1 bit가 할당된다.

2.2-1 전 상태 프레임 및 차프레임 메모리.

1) 전 상태 프레임 메모리 (Previous State Frame Memory)

전 상태 프레임 메모리는 이전 프레임을 기억하고 있어 현재의 입력과의 차를 얻어 프레임간 오자 신호만을 부호화하기 위해 필요하며 이 오자 신호가 움직임 영역 검출기의 입력으로 쓰이게 된다. 즉,

$$E_i = X_i - X_{i-1} \quad \dots \dots \dots (1)$$

또한, 같은 프레임 메모리가 복호기에도 구성되어 있어 채널 신호로부터 입력 벡터의 대표 벡터를 복원하는데 사용된다.

2) 차 프레임 메모리. (Error Frame Memory)

FSVQ에서는 다음 상태를 추적하기 위해 현재의 상태와 채널 사이ен스를 알고 있어야만 하나 프레임간 부호화의 특성을 이용하고, 또한 차프레임을 이용하여 상태 추적을 시도했다. 즉, 현재의 입력과 같은 위치의 차프레임을 상태부호책과 비교함으로써 상태를 결정 한다. 이때 상태부호책 탐색에는 양갈래 탐색을 사용하며 가장 균사한 상태를 결정하기 위해 식 (2)와 같은 평균 자승 오차 (Mean Squared Error) 가 최소가 되는 상태를 선택하게 했다.

$$MSE = \min d(X, \hat{X}) \quad \dots \dots \dots (2)$$

2.2 움직임 영역 검출. (Moving Area Detector)

시스템내에서 MAD는 입력으로 들어온 오자 벡터가 실제로 움직임이 있는 부분에 해당하는지 아닌지를 판단하는 것으로서 그 판정 조건으로는 블럭의 활동도 (Activity)를 구하여 이 값을 문턱치와 비교한다. 활동도를 계산하는 방법으로는 MSE를 사용하여 그 문턱치는 베퍼 메모리의 상태에 따라 적응적 (Adaptive)으로 변하게 된다.

$$MSE = E(X - \hat{X}) \quad \dots \dots \dots (3)$$

2.3 유한 상태 부호기 (Finite State Encoder)

전 프레임과의 오자 신호 중 MAD에 의해 움직임 영역으로 판정된 벡터만이 FSVQ를 서치하게 되는데 상태함수에 의해 상태가 결정되면 그 상태 부호책을 선체 탐색하여 최적의 부호어를 선택하게 된다.

이때 FSVQ의 출력 인덱스의 최상위 비트 (Most Significant Bit)에는 움직임이 있는 영역임을 나타내기 위해 "1"이 첨가된다.

2.4 완충기 (Buffer)

부호화 결과 비트 발생량은 영상의 움직임 정도에 따라 시간적으로 불규칙하게 발생한다. 따라서 일정한 프레임 속도로 영상 데이터를 전송하기 위해서는 완충기가 필요하다. 또한 이 완충기의 over-flow 와 under-flow 를 예방하기 위해 MAD 의 품질치를 조절할 수 있게 해야 한다.

부호화의 시간적인 측면을 고려해 보았을 경우에도, 제안한 방법은 60 - 80 % 가 움직임이 없는 블록으로 나타나기 때문에 활동도만을 비교하여 비트 전송을 하므로 철저히 바르게 처리됨을 볼 수 있었다.

3. 시뮬레이션 결과 및 검토

본 논문에서는 256×256 크기의 256 Gray Level을 갖는 Cronkite 영상을 대상으로 하여 256개의 상태를 갖고 각 상태마다 16개의 부호어를 가지며 각 벡터의 차원이 $64(8 \times 8)$ 인 FSVQ의 부호책을 작성하였다. 256개의 상태 부호책 작성에는 연속하는 프레임의 여러 가지 조합으로부터 2048개의 TS(Training Sequence) 벡터를 선정하여 Splitting 방법을 사용하였고, 각 상태의 부호어 작성에는 TS 중 그 상태로 본향(Partition)된 TS만을 이용하여 Splitting 방법을 적용시켰다. 그리하여 먼저 MAD의 입력으로 들어오는 프레임간 오차 신호로부터 8×8 크기의 벡터를 형성한 다음 MAD에 의해 움직임 영역만을 검출하여 FSVQ를 실시하였다.

또한, 컴퓨터 시뮬레이션을 실시하였으므로 완충기에 의한 MAD의 품질치 값을 제어하지 못하고 단지 임의적으로 품질치를 두어 실행하였다.

여기서 성능 검사 방법으로는

$$\text{NMSE} = 10 \log \frac{E[(X - \bar{X})^2]}{E(X^2)}$$

X : 원래영상 \bar{X} : 재생영상

식을 사용하였다.

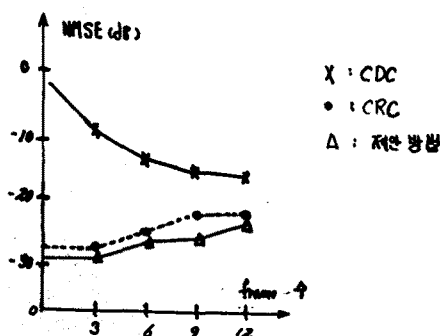


표 1 SNR에 따른 비교.

4. 결론

시급까지 진행되어온 CRC (Conditional Replenishment Coding) 및 CDC (Combinational Difference Coding)에서의 블록 부호화보다 위 표에서 보는 것처럼 제안한 방법이 성능면에서 낫는 bits에서도 더 낫게 평가를 볼 수 있었다.

Reference.

1. R.M.Gray, "Vector Quantization," IEEE ASSP. Mag.Vol.1, p.4-29, Apr. 1984
2. Y.Linde, "A.Buzo, R.M.Gray, "An Algorithm for Vector Quantizer Design," IEEE Trans. Commun., Vol.COM-28, pp.84-95, Jan. 1980
3. A.Gersho, "On the Structure of Vector Quantization," IEEE Trans. Inform. Theory, Vol. IT-28, No. 2, pp.157-166, March, 1982
4. R.M.Gray, and Y.Linde, "Vector Quantizers and Predictive Quantizers for Gauss-Markov Sources," IEEE Trans. Commun., Vol.COM-30, No. 2, pp.381-389, Feb. 1982
5. H.Abut, R.M.Gray, and G.Rebolledo, "Vector Quantization of Speech and Speech-Like Waveforms," IEEE Trans. Acoustic Speech and Signal Proc. Vol. ASSP-30, No. 3, pp.423-435, June, 1982
6. T.Saito, H.takeo, K.aizawa, H.Harashima, and H.Miyakawa, "Adaptive Discrete Cosine Transform Image Coding Using Gain/Shape Vector Quantizers," IEEE ICASSP. pp.129-132, 1986
7. J.B.Anderson, and J.B.Bobie, "Tree Encoding of Speech," IEEE Trans. Inform. Theory, Vol. IT-21, No. 4, pp.379-387 July, 1975
8. Y.Matsuyama, and R.M.Gray, "Universal Tree Encoding for Speech," IEEE Trans. Inform. theory, Vol. IT-27, pp.31-40, Jan. 1981
9. K.Inuma, Y.Iijima, T.Ishiguro, H.Kaneko, and S.Shiagaki, "Interframe Coding for 4-MHz Color TV Signals," IEEE Trans. Commun., Vol.COM-23, pp.1461-1466, Dec. 1975
10. N.Mukawa, H.kuroda, and T.Matsuoka, "An Interframe Coding System for Electroconferencing Signal Transmission at a 1.5 M bits/s Rate," IEEE Trans. Commun., Vol.COM-32, pp.280-287, March, 1984
11. M.J.Bage, "Interframe Predictive Coding of Images Using Hybrid Vector Quantization," IEEE Trans. commun., Vol. COM-34, No. 4, pp.411-415, Apr. 1986
12. J.Foster, R.M.Gray, and M.O.Dunhan, "Finite State Vector Quantization for Waveform Coding," IEEE Trans. Inform. Theory, Vol. IT-31, No. 3, pp.348-359 May, 1983
13. M.Dunhan, and R.M.Gray, "An Algorithm for the Design of Labeled-Transition Finite-State Vector Quantizers," IEEE Trans. Commun., Vol. No. 1, pp.83-89, Jan. 1985
14. W.Zschunke, "DPCM Picture Coding with Adaptive Prediction," IEEE Trans. Commun., Vol.COM-25, pp.1295-1302, Nov. 1977.